

# PLANCHES



I

LE NYAMURAGIRA, LES FISSURES,  
TSHAMBENE

PLANCHE I.

EXPLICATION DES FIGURES.

---

FIG. 1. — Le volcan Nyamuragira.

Vue prise de Rutshuru à 48 kilomètres de distance. Point culminant 3.056 m d'altitude.

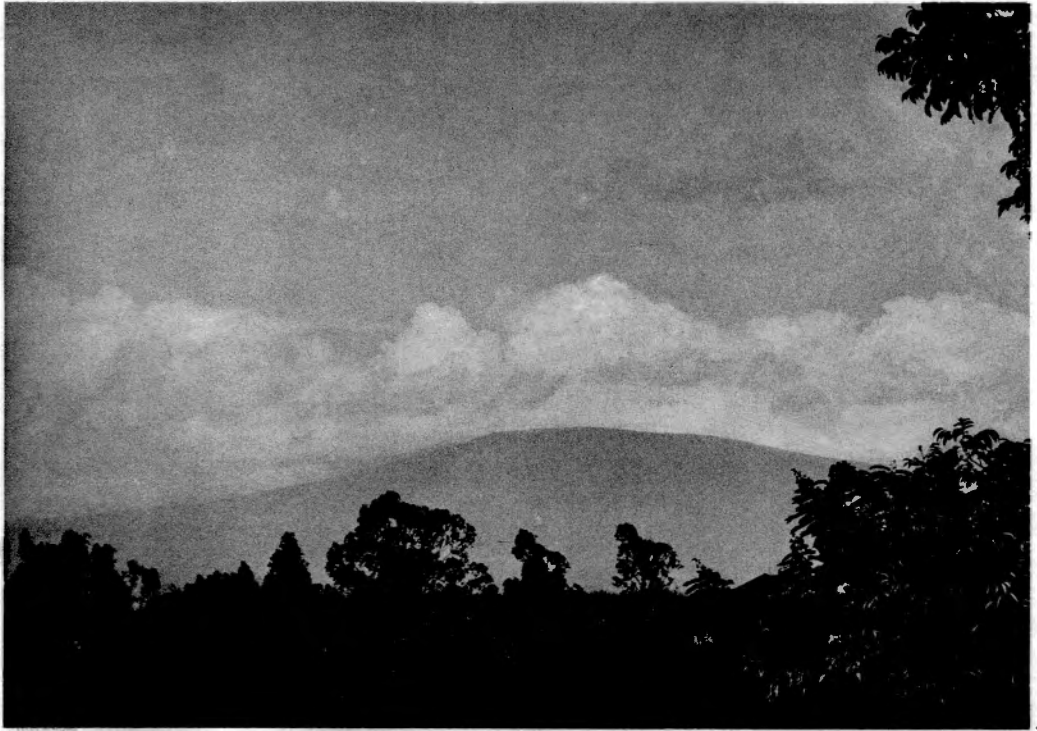
Photo J. VERHOOGEN (Coll. Inst. Parcs Nat. Congo Belge).

FIG. 2. — Le volcan Nyamuragira.

Profil en terrasses sur le versant Sud-Ouest. A l'avant-plan, coulée du 18 janvier 1938 [alt. 1.600 m].

Photo J. VERHOOGEN (Coll. Inst. Parcs Nat. Congo Belge).

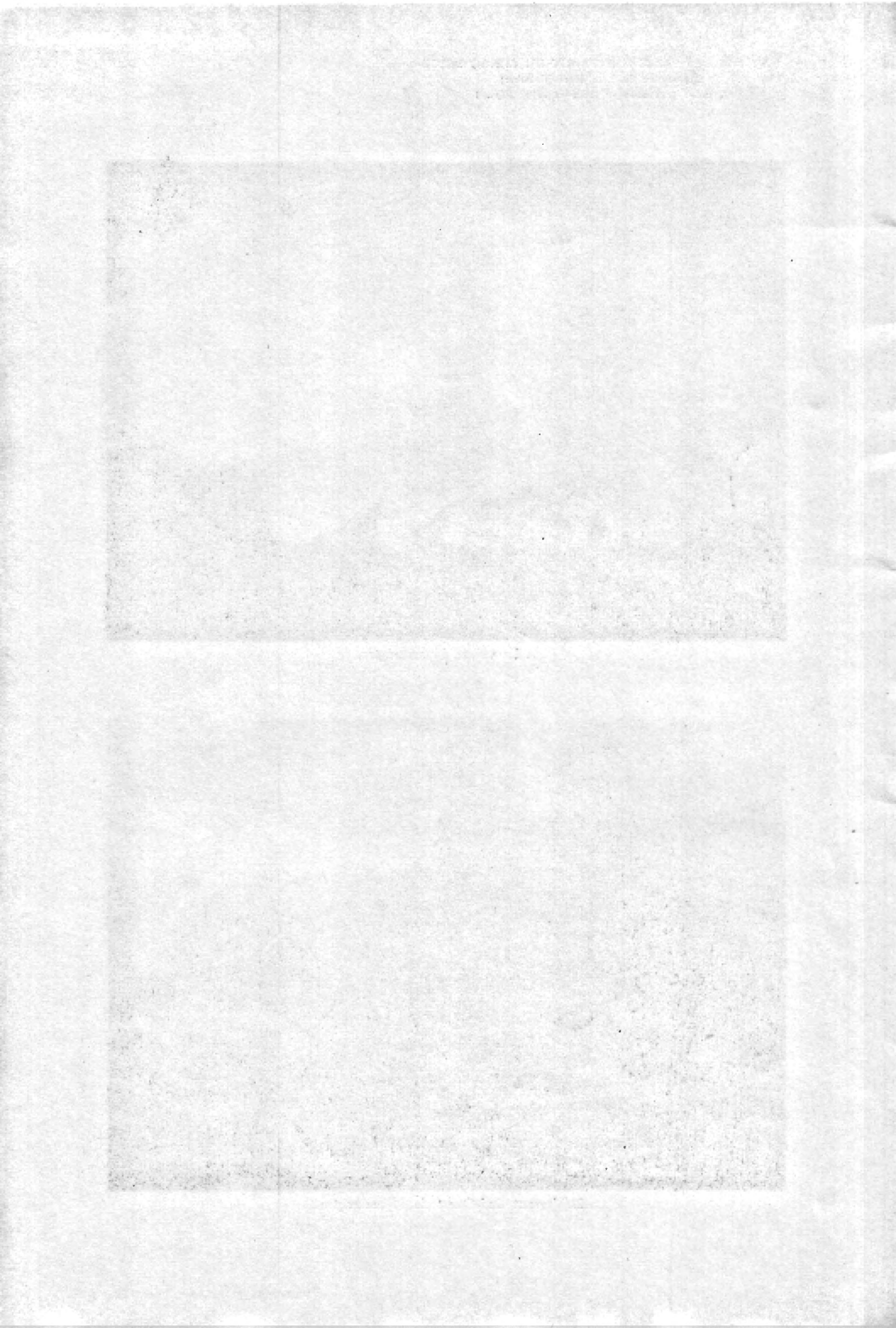
---



1. Le volcan Nyamuragira.



2. Versant Sud-Ouest du Nyamuragira.



EXPLICATION DES FIGURES

PLANCHE II.

## EXPLICATION DES FIGURES.

---

FIG. 1. — Le cratère du volcan.

Janvier 1933. Remplissage du cratère. Plate-forme moyenne au Nord de la partie active [alt. 2.904 m] et plate-forme supérieure [alt. 2.954 m]. Une paroi abrupte sépare les deux plates-formes (partie claire).

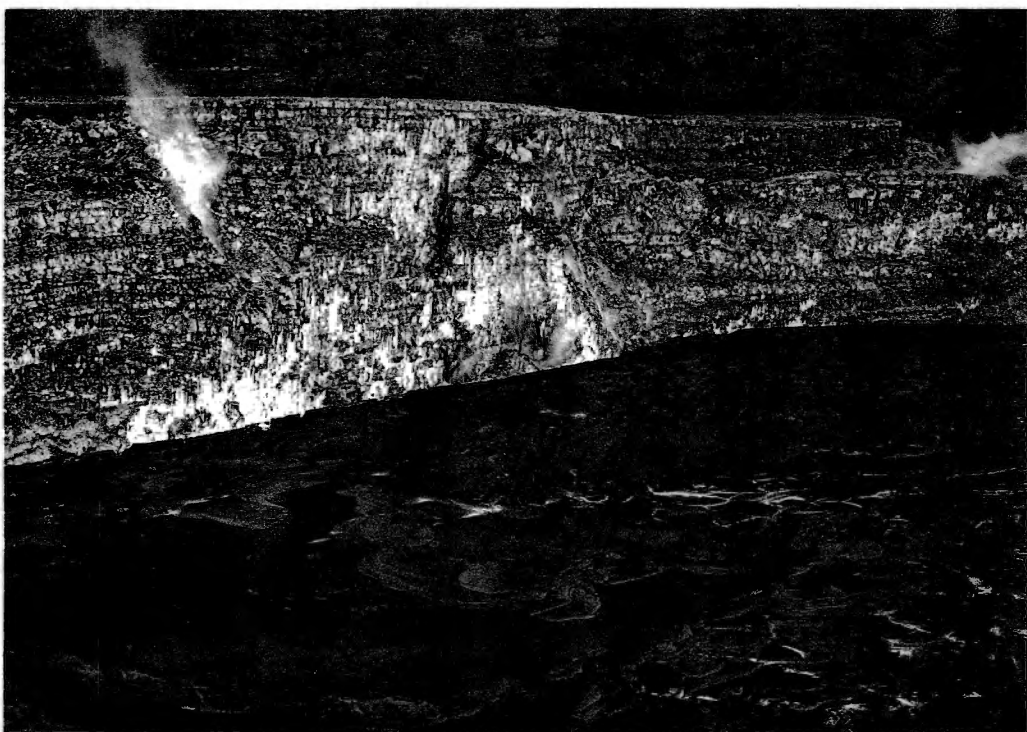
Photo R. HOIER (Coll. Inst. Parcs Nat. Congo Belge).

FIG. 2. — Le cratère du volcan.

Février 1938. Nouvelle plate-forme inférieure créée par l'effondrement de la partie Sud du cratère [alt. 2.794 m]. Au fond, bord de la plate-forme supérieure et de la caldera.

Photo R. HOIER (Coll. Inst. Parcs Nat. Congo Belge).

---



1. Janvier 1933. Remplissage du cratère.



2. Février 1938. Nouvelle plate-forme inférieure.



EXPLICATION DES FIGURES

PLANCHE III.

Fig. 1. — Les deux masses de terre...  
Fig. 2. — Les deux masses de terre...  
Fig. 3. — Les deux masses de terre...

## EXPLICATION DES FIGURES.

---

FIG. 1. — Bord extérieur Ouest du cratère.

Bloc éjecté.

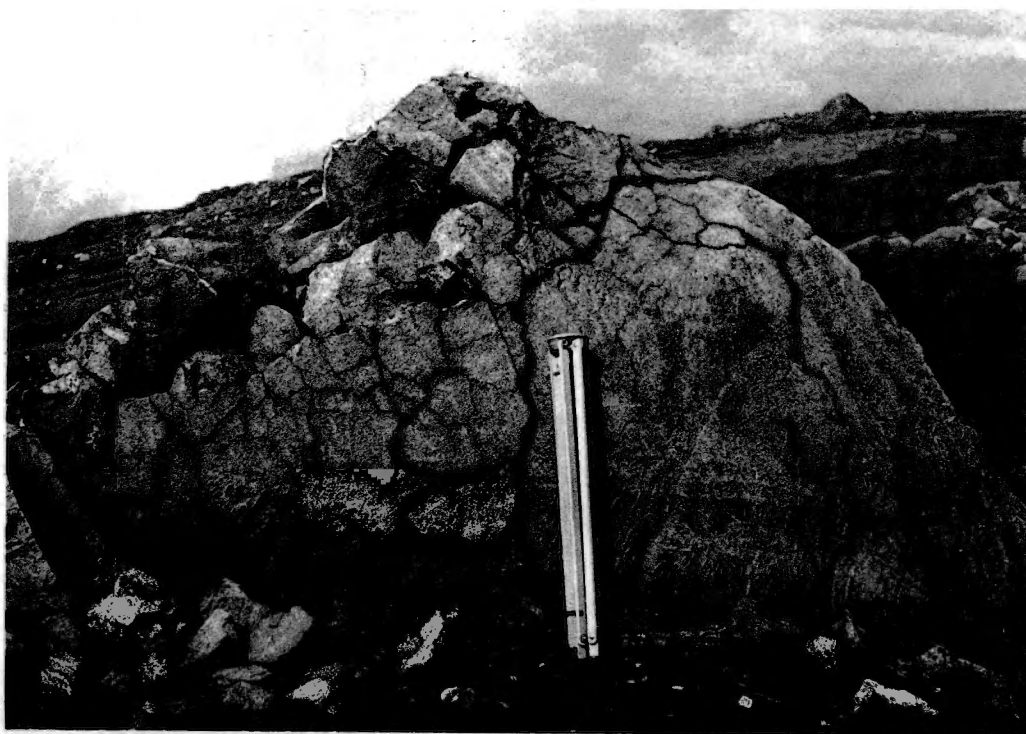
Photo J. VERHOOGEN (Coll. Inst. Parcs Nat. Congo Belge).

FIG. 2. — Les deux fissures (3 et 4).

Fissures ouvertes au Sud-Est du volcan le 28 janvier 1938. En clair, les coulées du même jour. Vue prise au téléobjectif du pied Ouest du volcan Nyiragongo. A l'avant-plan, le petit volcan adventif de Gitebe [alt. du sommet : 2.334 m].

Photo J. VERHOOGEN (Coll. Inst. Parcs Nat. Congo Belge).

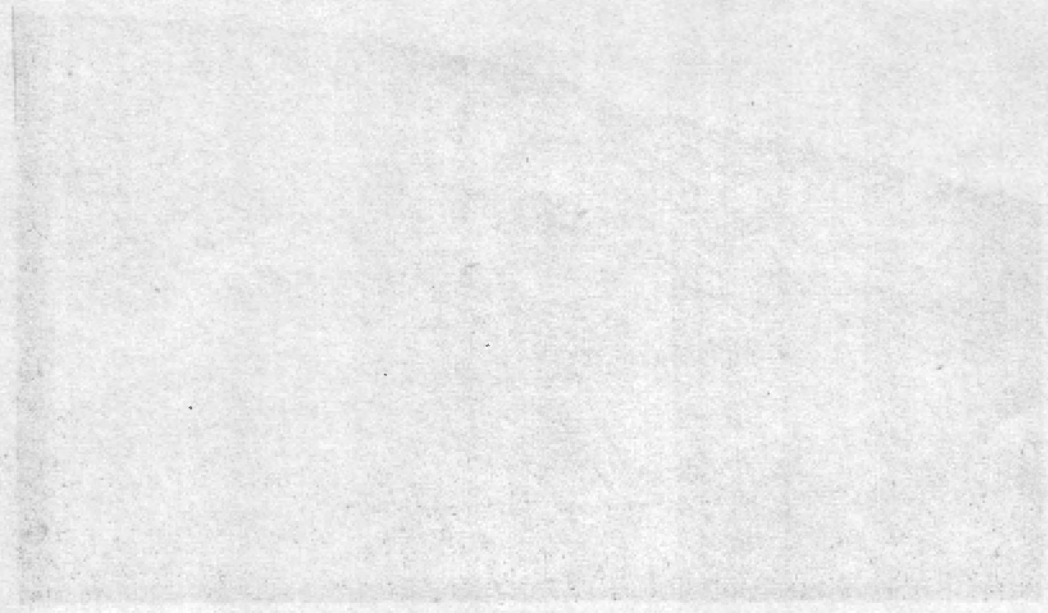
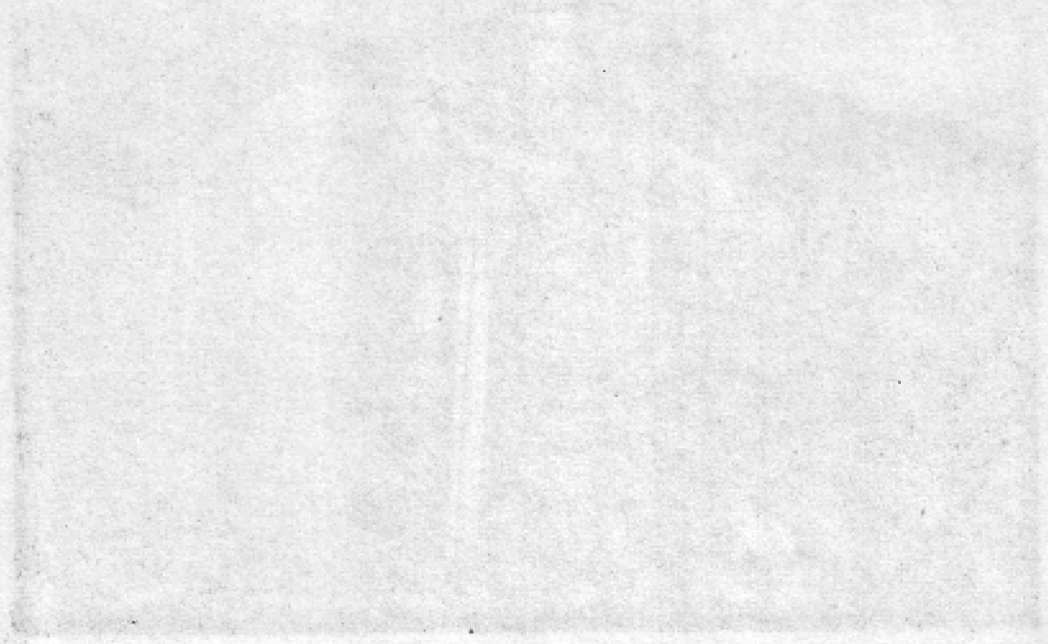
---



1. Bloc éjecté. Bord extérieur Ouest du cratère.



2. Les 2 fissures (3 et 4).



EXPLICATION DES FIGURES

Fig. 1. - Vue en perspective d'un objet quelconque.  
Fig. 2. - Vue en perspective d'un objet quelconque.  
Fig. 3. - Vue en perspective d'un objet quelconque.

PLANCHE IV.

Fig. 4. - Vue en perspective d'un objet quelconque.  
Fig. 5. - Vue en perspective d'un objet quelconque.  
Fig. 6. - Vue en perspective d'un objet quelconque.

## EXPLICATION DES FIGURES.

---

FIG. 1. — Fissures dans la partie supérieure du volcan.

Fissures apparues près de l'amorce de la fissure n° 1, au bord Sud-Ouest [alt. env. 2.960 m].

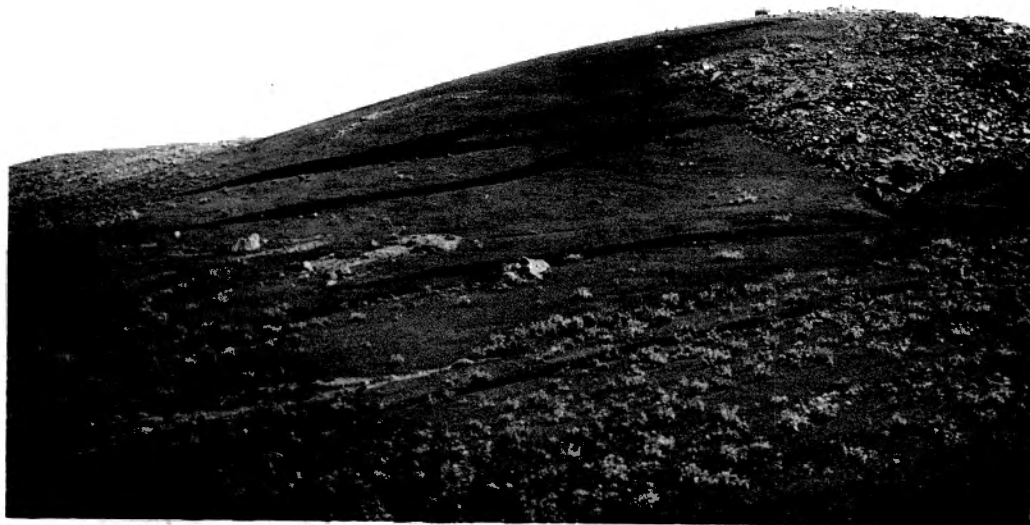
Photo R. HOIER (Coll. Inst. Parcs Nat. Congo Belge).

FIG. 2. — La fissure n° 1.

Fissure qui relie le volcan Nyamuragira au nouveau volcan Tshambene [alt. vers 2.800 m].

Photo A. C. COMBE.

---



1. Fissures dans la partie supérieure du volcan.



2. La fissure n° 1.



LEHRBUCH DER KUNST

PLANCHE V.

Fig. 1. — Die ...  
A ...  
B ...  
C ...  
D ...  
E ...  
F ...  
G ...  
H ...  
I ...  
J ...  
K ...  
L ...  
M ...  
N ...  
O ...  
P ...  
Q ...  
R ...  
S ...  
T ...  
U ...  
V ...  
W ...  
X ...  
Y ...  
Z ...

## EXPLICATION DES FIGURES.

---

### FIG. 1. — Le Tshambene.

A l'extrême gauche, paroi Sud de la « crête ». Au centre, l'« îlot » surélevé. A noter l'inclinaison des arbres. Au fond, le cône 3. Vue vers l'Est [alt. 2.250 m].

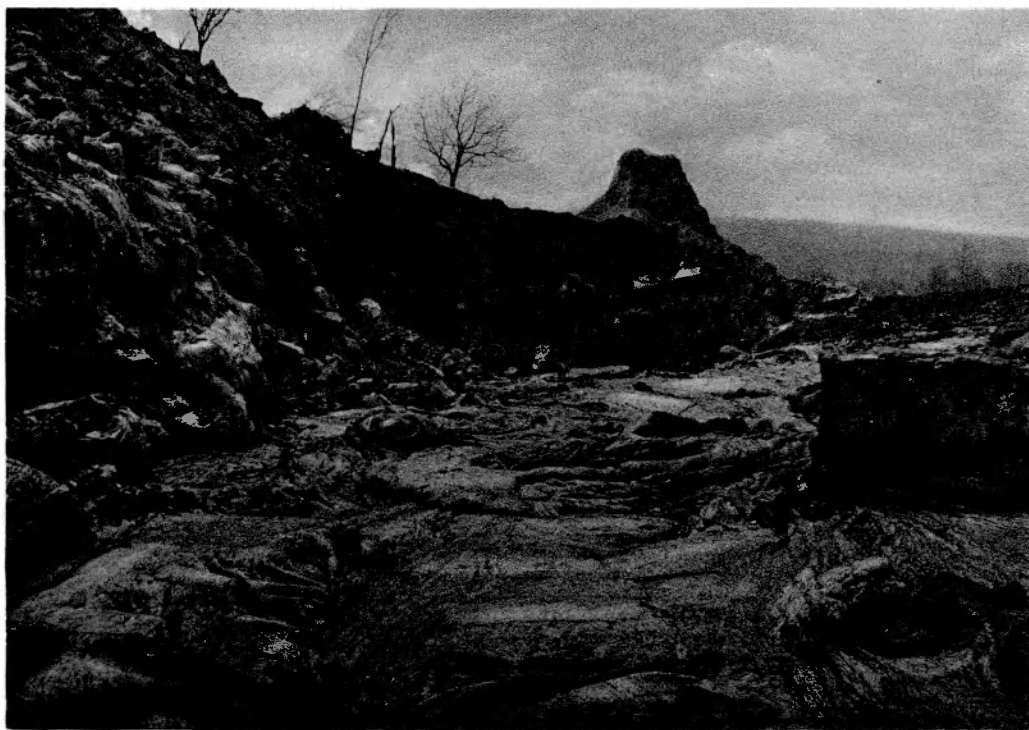
Photo J. VERHOOGEN (Coll. Inst. Parcs Nat. Congo Belge).

### FIG. 2. — Le Tshambene.

A gauche, la « crête »; à droite, l'« îlot ». Vue vers le Nord [alt. 2.280 m].

Photo J. VERHOOGEN (Coll. Inst. Parcs Nat. Congo Belge).

---



1. Le Tshambene. Vue vers l'Est.



2. Le Tshambene. Vue vers le Nord.



EXPLIQUER DE LA MANIÈRE

DE LA MANIÈRE

DE LA MANIÈRE DE LA MANIÈRE

DE LA MANIÈRE DE LA MANIÈRE

**PLANCHE VI.**

EXPLICATION DE LA FIGURE.

---

FIG. 1. — Le Tshambene.

Petite zone effondrée au Sud du lac. Au fond, coulée du  
28 janvier 1938 [alt. 2.265 m].

Photo J. VERHOOGEN (Coll. Inst. Parcs Nat. Congo Belge).

---



1. Le Tshambene. Petite zone effondrée.



EXPLICATION DES FIGURES

PLANCHE VII.

Fig. 1. — Le cadavre  
Fig. 2. — Le cadavre  
Fig. 3. — Le cadavre  
Fig. 4. — Le cadavre  
Fig. 5. — Le cadavre  
Fig. 6. — Le cadavre  
Fig. 7. — Le cadavre  
Fig. 8. — Le cadavre  
Fig. 9. — Le cadavre  
Fig. 10. — Le cadavre  
Fig. 11. — Le cadavre  
Fig. 12. — Le cadavre  
Fig. 13. — Le cadavre  
Fig. 14. — Le cadavre  
Fig. 15. — Le cadavre  
Fig. 16. — Le cadavre  
Fig. 17. — Le cadavre  
Fig. 18. — Le cadavre  
Fig. 19. — Le cadavre  
Fig. 20. — Le cadavre  
Fig. 21. — Le cadavre  
Fig. 22. — Le cadavre  
Fig. 23. — Le cadavre  
Fig. 24. — Le cadavre  
Fig. 25. — Le cadavre  
Fig. 26. — Le cadavre  
Fig. 27. — Le cadavre  
Fig. 28. — Le cadavre  
Fig. 29. — Le cadavre  
Fig. 30. — Le cadavre  
Fig. 31. — Le cadavre  
Fig. 32. — Le cadavre  
Fig. 33. — Le cadavre  
Fig. 34. — Le cadavre  
Fig. 35. — Le cadavre  
Fig. 36. — Le cadavre  
Fig. 37. — Le cadavre  
Fig. 38. — Le cadavre  
Fig. 39. — Le cadavre  
Fig. 40. — Le cadavre  
Fig. 41. — Le cadavre  
Fig. 42. — Le cadavre  
Fig. 43. — Le cadavre  
Fig. 44. — Le cadavre  
Fig. 45. — Le cadavre  
Fig. 46. — Le cadavre  
Fig. 47. — Le cadavre  
Fig. 48. — Le cadavre  
Fig. 49. — Le cadavre  
Fig. 50. — Le cadavre  
Fig. 51. — Le cadavre  
Fig. 52. — Le cadavre  
Fig. 53. — Le cadavre  
Fig. 54. — Le cadavre  
Fig. 55. — Le cadavre  
Fig. 56. — Le cadavre  
Fig. 57. — Le cadavre  
Fig. 58. — Le cadavre  
Fig. 59. — Le cadavre  
Fig. 60. — Le cadavre  
Fig. 61. — Le cadavre  
Fig. 62. — Le cadavre  
Fig. 63. — Le cadavre  
Fig. 64. — Le cadavre  
Fig. 65. — Le cadavre  
Fig. 66. — Le cadavre  
Fig. 67. — Le cadavre  
Fig. 68. — Le cadavre  
Fig. 69. — Le cadavre  
Fig. 70. — Le cadavre  
Fig. 71. — Le cadavre  
Fig. 72. — Le cadavre  
Fig. 73. — Le cadavre  
Fig. 74. — Le cadavre  
Fig. 75. — Le cadavre  
Fig. 76. — Le cadavre  
Fig. 77. — Le cadavre  
Fig. 78. — Le cadavre  
Fig. 79. — Le cadavre  
Fig. 80. — Le cadavre  
Fig. 81. — Le cadavre  
Fig. 82. — Le cadavre  
Fig. 83. — Le cadavre  
Fig. 84. — Le cadavre  
Fig. 85. — Le cadavre  
Fig. 86. — Le cadavre  
Fig. 87. — Le cadavre  
Fig. 88. — Le cadavre  
Fig. 89. — Le cadavre  
Fig. 90. — Le cadavre  
Fig. 91. — Le cadavre  
Fig. 92. — Le cadavre  
Fig. 93. — Le cadavre  
Fig. 94. — Le cadavre  
Fig. 95. — Le cadavre  
Fig. 96. — Le cadavre  
Fig. 97. — Le cadavre  
Fig. 98. — Le cadavre  
Fig. 99. — Le cadavre  
Fig. 100. — Le cadavre

## EXPLICATION DES FIGURES.

---

### FIG. 1. — Le Tshambene.

3 mars 1938. Le Tshambene, vu du cratère du volcan Nyamuragira. A droite, le cône 2; au centre, dégagement de fumée du lac; à gauche, cône 3. Altitude de la partie active : 2.260 à 2.300 m.

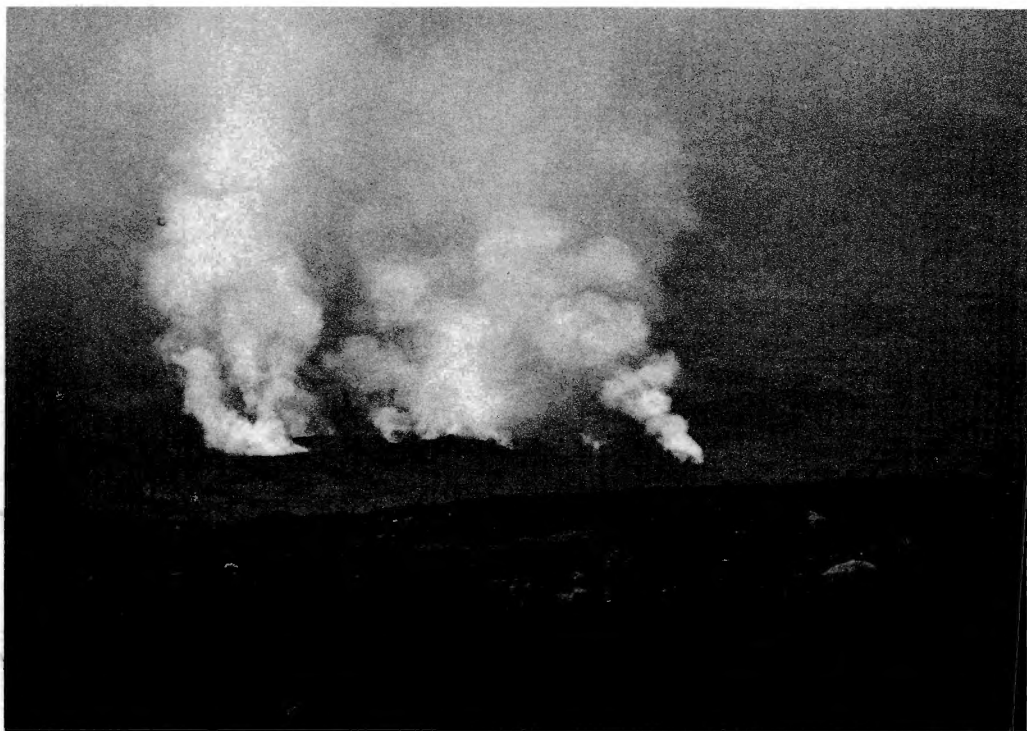
Photo J. VERHOOGEN (Coll. Inst. Parcs Nat. Congo Belge).

### FIG. 2. — Le Tshambene.

25 juillet 1938. Le Tshambene (à droite), vu du camp. A gauche, l'orifice n° 9 à 2.550 m d'altitude.

Photo J. VERHOOGEN (Coll. Inst. Parcs Nat. Congo Belge).

---



1. Le Tshambene, vu du cratère du Nyamuragira.



2. Le Tshambene (à droite) vu du camp.



PLANCHE VIII.

## EXPLICATION DES FIGURES.

---

FIG. 1. — Extension des coulées dans la plaine.

14 avril 1938 (Infra-rouge). Au fond à gauche, en noir, la baie de Sake sur le lac Kivu, au pied des montagnes [alt. 1.460 m]. En noir, les coulées. À l'avant-plan, le Tshambene et, vers la droite, le torrent de lave à ciel ouvert. Distance de Tshambene au lac Kivu : 20 kilomètres.

Photo J. VERHOOGEN (Coll. Inst. Parcs Nat. Congo Belge).

FIG. 2. — Tshambene la nuit.

23 avril 1938. A gauche, le cône 6 (phase explosivé) et le cône 4 (phase de combustion). Au centre, la cuvette du lac; à droite, le torrent.

Photo J. VERHOOGEN (Coll. Inst. Parcs Nat. Congo Belge).

---



1. Les coulées dans la plaine vers le lac Kivu.



2. Tshambene la nuit.



II

LES COULÉES

PLANCHE IX.

## EXPLICATION DES FIGURES.

---

**FIG. 1. — Volcan Nyamuragira.**

Coulée débordante, issue du cratère du Nyamuragira une dizaine de jours avant l'éruption du 28 janvier 1938 [alt. 2.950 m].

Photo J. VERHOOGEN (Coll. Inst. Parcs Nat. Congo Belge).

**FIG. 2. — Coulée de Tshambene.**

Septembre 1938. Coulée près de Kobe descendant vers le lac Kivu, qu'elle atteint le 6 décembre 1938 (alt. env. 1.600 m].

Photo J. VERHOOGEN (Coll. Inst. Parcs Nat. Congo Belge).

---



1. Le Nyamuragira. Coulée issue du cratère.



2. Coulée de Tshambene près de Kobe.



EXPLICATION DES FIGURES

PLANCHE X.

TABLEAU DES MOYENS DE CULTURE  
DES VÉGÉTAUX MARINIERS

PLANCHE X.

## EXPLICATION DES FIGURES.

---

FIG. 1. — Au Sud de Tshambene.

Coulée issue le 28 janvier 1938 de la fissure n° 5. Tourbillons figés au pied des arbres [alt. 2.250 m].

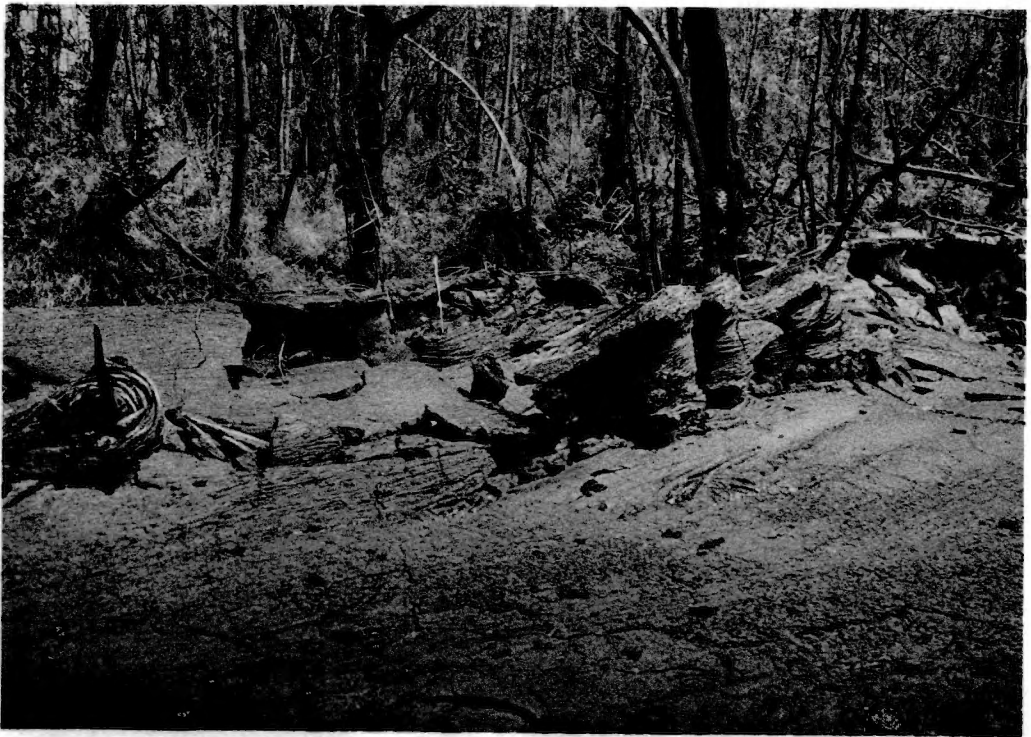
Photo J. VERHOOGEN (Coll. Inst. Parcs Nat. Congo Belge).

FIG. 2. — Coulée de la fissure n° 1.

Coulée issue le 28 janvier 1938 de la fissure n° 1. Eclaboussures de lave dans un arbre [alt. 2.300 m].

Photo A. C. COMBE.

---



1. Tourbillons de lave figés au pied des arbres.



2. Eclaboussures de lave dans un arbre.



REPRODUCTION DE FIGURES

PLANCHE XI.

## EXPLICATION DES FIGURES.

---

### FIG. 1. — La lave.

Coulée issue le 28 janvier 1938 de la fissure n° 2. Epaisseur de la coulée : environ  $\frac{1}{2}$  cm. Les ampoules sont dues probablement au dégagement de vapeur du sol humide.

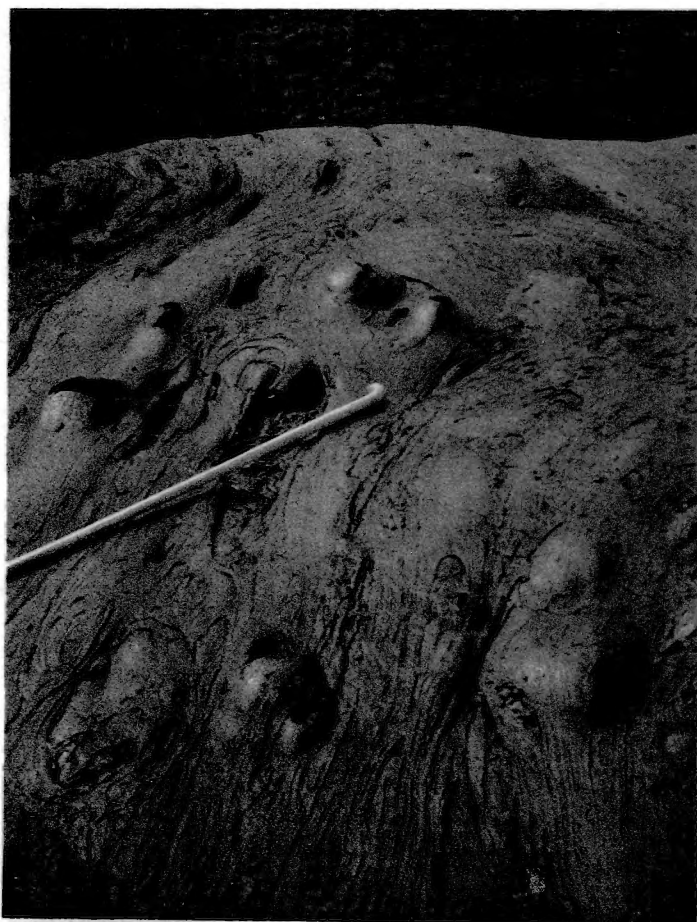
Photo J. VERHOOGEN (Coll. Inst. Parcs Nat. Congo Belge).

### FIG. 2. — Lave auto-propulsive.

Coulée issue le 28 janvier 1938 de la fissure n° 1. Noter les plaques de lave entièrement isolées, ressemblant à des produits de projection.

Photo J. VERHOOGEN (Coll. Inst. Parcs Nat. Congo Belge).

---



1. Aspect de lave.



2. Lave auto-propulsive.

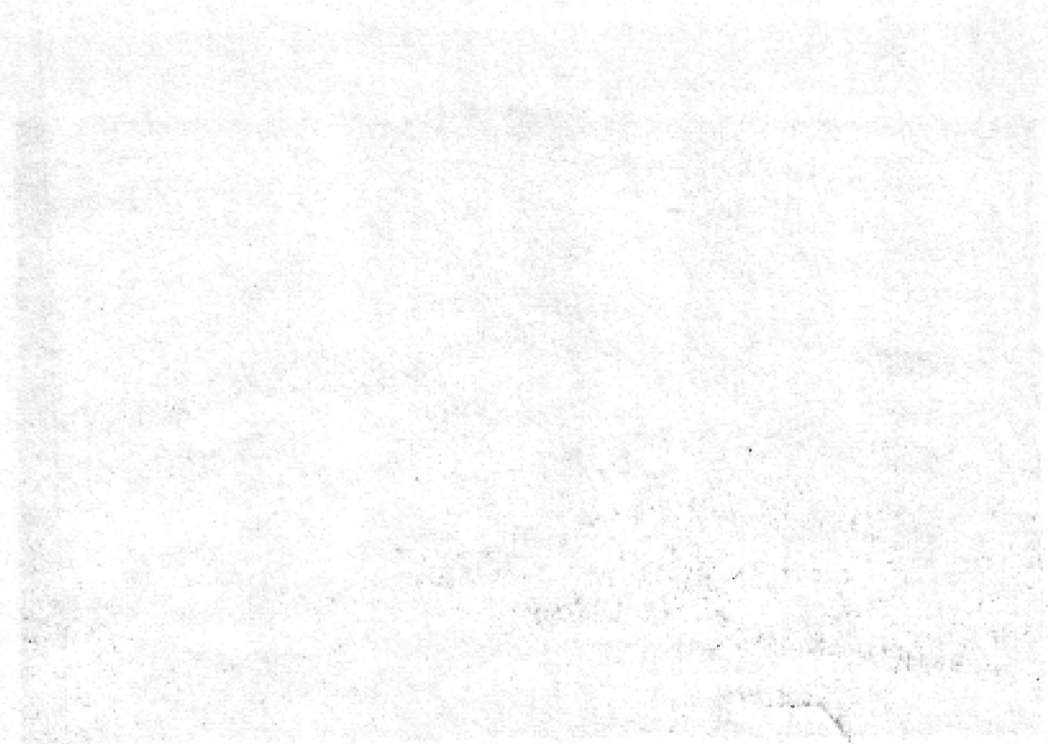
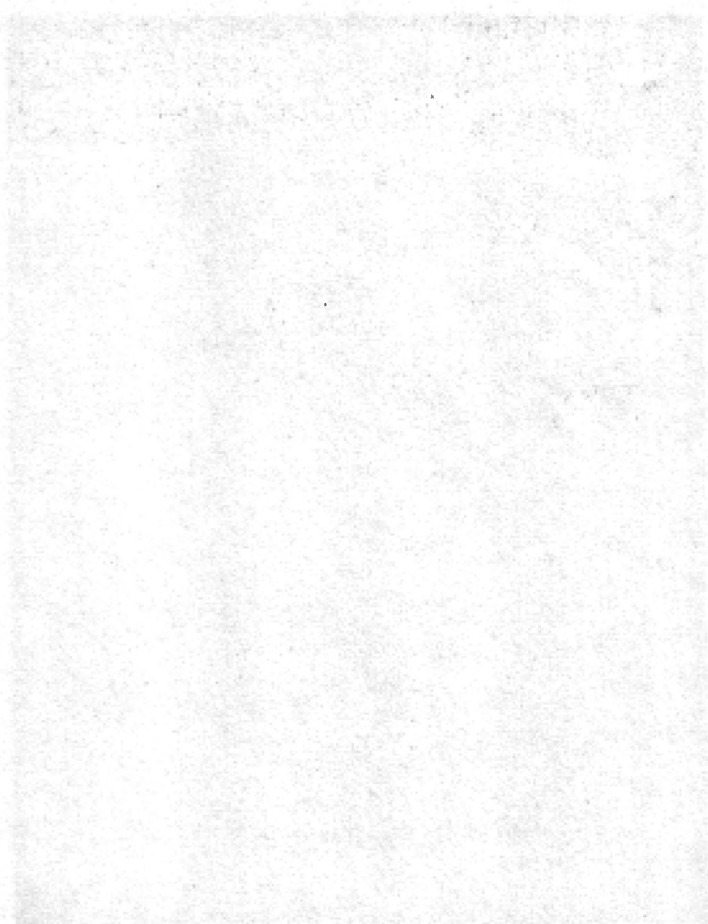


PLANCHE XII.

EXPLICATION DES FIGURES.

---

FIG. 1. — Aspect de lave.

Détail de la surface d'une coulée du 28 janvier 1938.

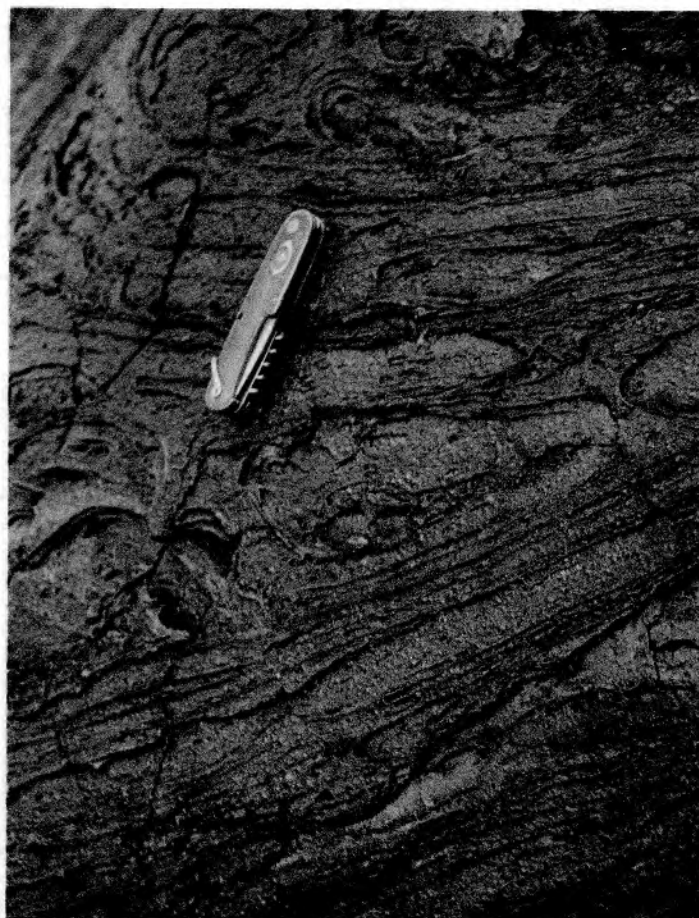
Photo J. VERHOOGEN (Coll. Inst. Parcs Nat. Congo Belge).

FIG. 2. — Aspect de lave.

21 avril 1938. Coulée de « pahoehoe » du cône 4.

Photo J. VERHOOGEN (Coll. Inst. Parcs Nat. Congo Belge).

---



1. Aspect de lave.



2. Aspect de lave.



III

LE TORRENT DE LAVE

PLANCHE XIII.

## EXPLICATION DES FIGURES.

FIG. 1. — Source du torrent entre deux horst.

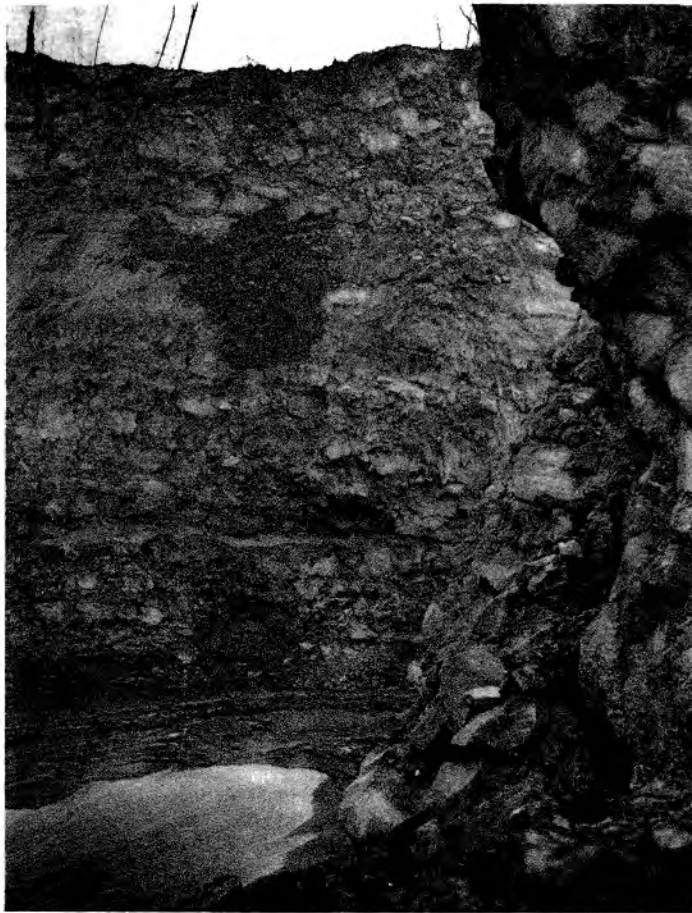
4 mars 1938. Au fond, l' « îlot » ; à droite, la « crête ». Noter le lambeau de lave fraîche (du 28 janvier) accroché à la paroi de l' « îlot » [alt. 2.255 m].

Photo J. VERHOOGEN (Coll. Inst. Parcs Nat. Congo Belge).

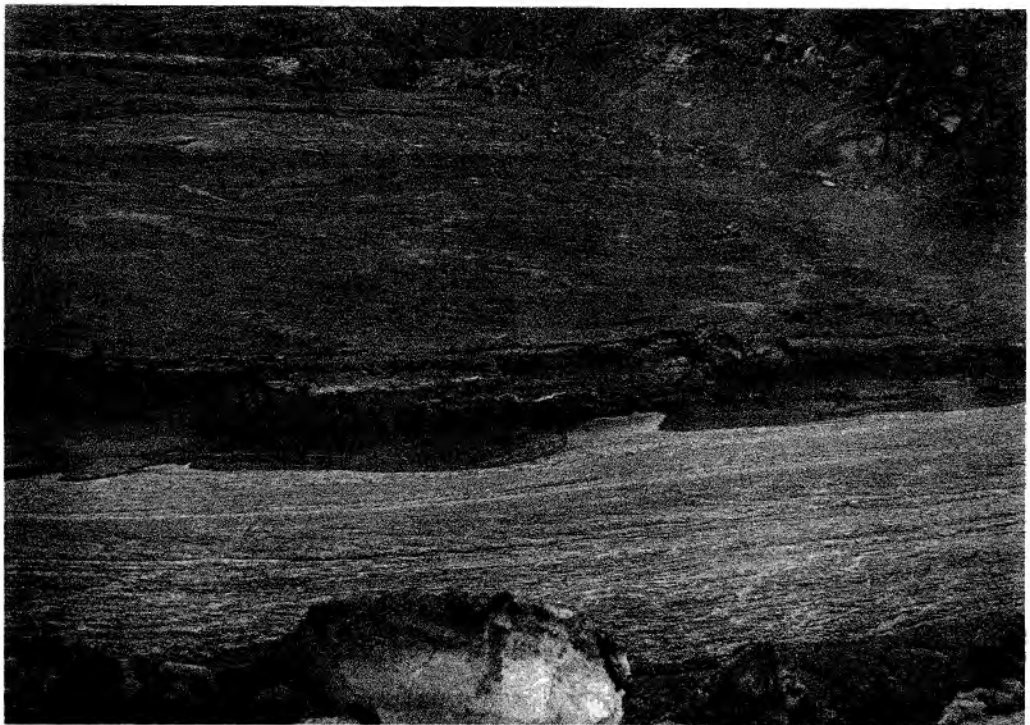
FIG. 2. — Le torrent de lave.

4 mars 1938. La lave s'écoulè en un torrent, 25 mètres en aval de la source. Débit approximatif : 20 m<sup>3</sup>/seconde [alt. 2.255 m].

Photo J. VERHOOGEN (Coll. Inst. Parcs Nat. Congo Belge).



1. Source du torrent entre deux horst.



2. Le torrent de laye.



EXPLIQUER LES FIGURES

PLANCHE XIV.

FIGURE 1. — Vue en perspective d'un objet rectangulaire, montrant les faces supérieure, latérale et inférieure. Les dimensions sont indiquées par des lignes et des lettres.

FIGURE 2. — Vue en perspective d'un objet rectangulaire, montrant les faces supérieure, latérale et inférieure. Les dimensions sont indiquées par des lignes et des lettres.

FIGURE 3. — Vue en perspective d'un objet rectangulaire, montrant les faces supérieure, latérale et inférieure. Les dimensions sont indiquées par des lignes et des lettres.

## EXPLICATION DES FIGURES.

---

### FIG. 1. — Le torrent de lave.

2 avril 1938. Ecoulement de la lave, 50 m en aval de la source. Torrent légèrement encaissé. Au fond et à droite, la « crête » [alt. 2.250 m].

Photo J. VERHOOGEN (Coll. Inst. Parcs Nat. Congo Belge).

### FIG. 2. — Débordement.

19 avril 1938. Premier débordement du torrent; début de la formation du tunnel [alt. 2.250 m].

Photo J. VERHOOGEN (Coll. Inst. Parcs Nat. Congo Belge).

---



1. Le torrent de lave.



2. Premier débordement du torrent.



EXPLICATIONS DES FIGURES

PLANCHE XV.

EXPLICATION DES FIGURES.

---

FIG. 1. — La source du torrent.

15 avril 1938. Vue prise du haut de l' « îlot » [alt. 2.255 m].

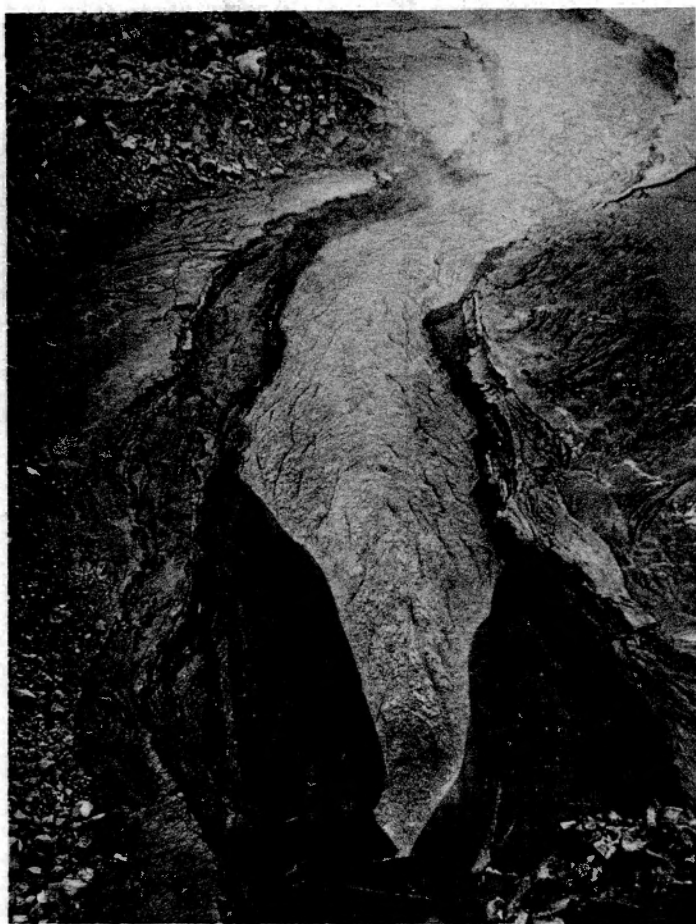
Photo J. VERHOOGEN (Coll. Inst. Parcs Nat. Congo Belge).

FIG. 2. — La source du torrent.

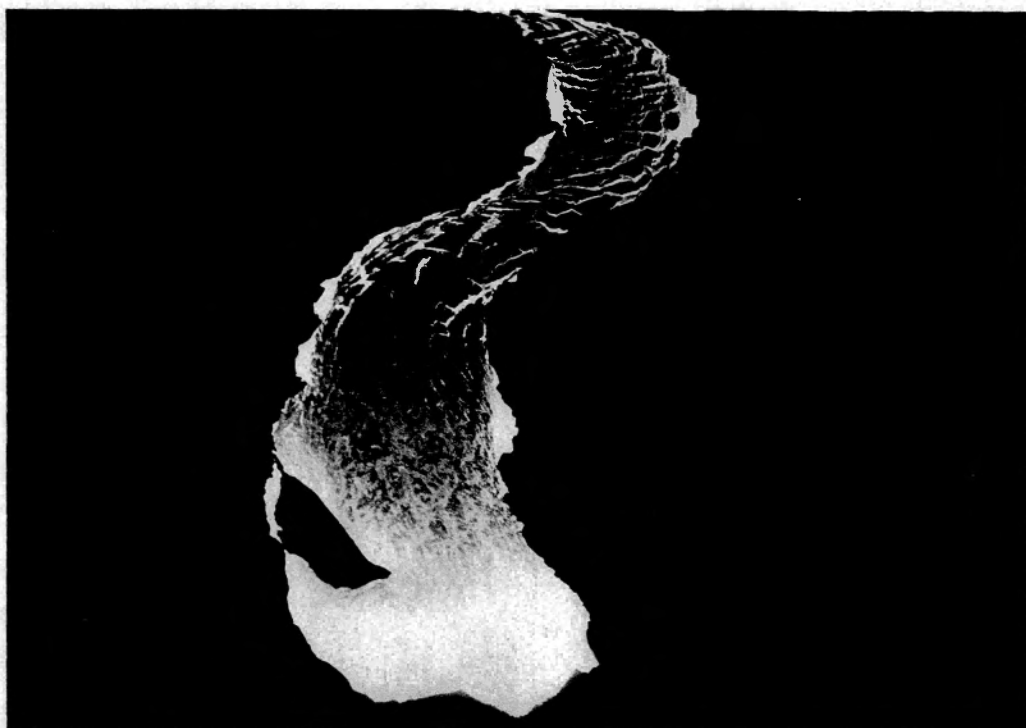
21 avril 1938 (Infra-rouge). Même vue que ci-dessus.  
Noter la débâcle momentanée de la croûte.

Photo J. VERHOOGEN (Coll. Inst. Parcs Nat. Congo Belge).

---



1. La source du torrent.



2. La source du torrent (infra-rouge).

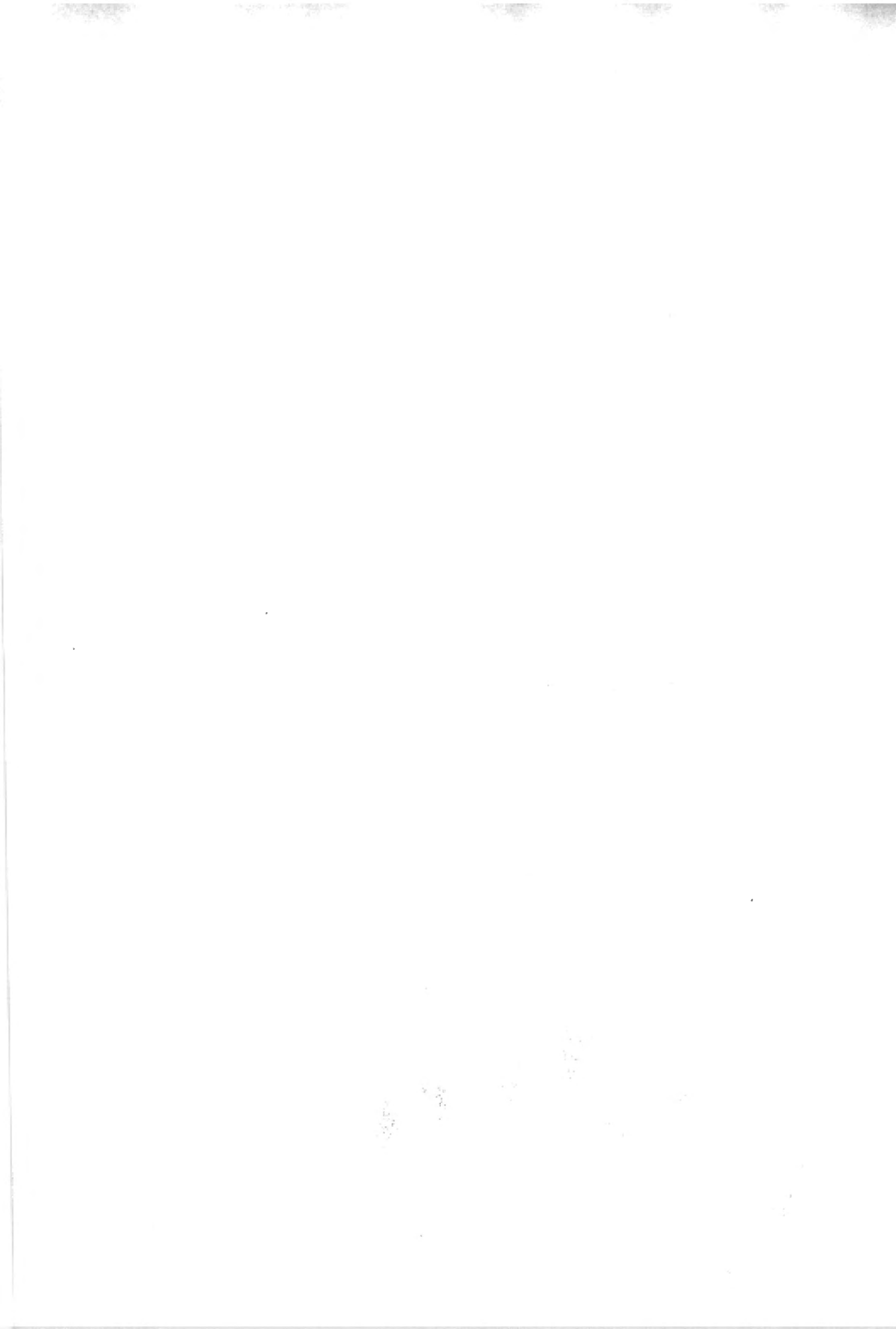


PLANCHE XVI.

## EXPLICATION DES FIGURES.

---

FIG. 1. — Ouverture n° 1 du tunnel.

Juillet 1938. Ouverture n° 1 du tunnel regardant vers l'amont. Au fond, la source du torrent. La lave coule partiellement sous une deuxième voûte formée par embâcle de la croûte (à l'avant-plan) [alt. 2.255 m].

Photo J. VERHOOGEN (Coll. Inst. Parcs Nat. Congo Belge).

FIG. 2. — La « crête » et l'ouverture du tunnel.

Juillet 1938. A gauche, la face nord de la « crête ». A droite, ouverture n° 1 du tunnel [alt. 2.255 m].

Photo J. VERHOOGEN (Coll. Inst. Parcs Nat. Congo Belge).

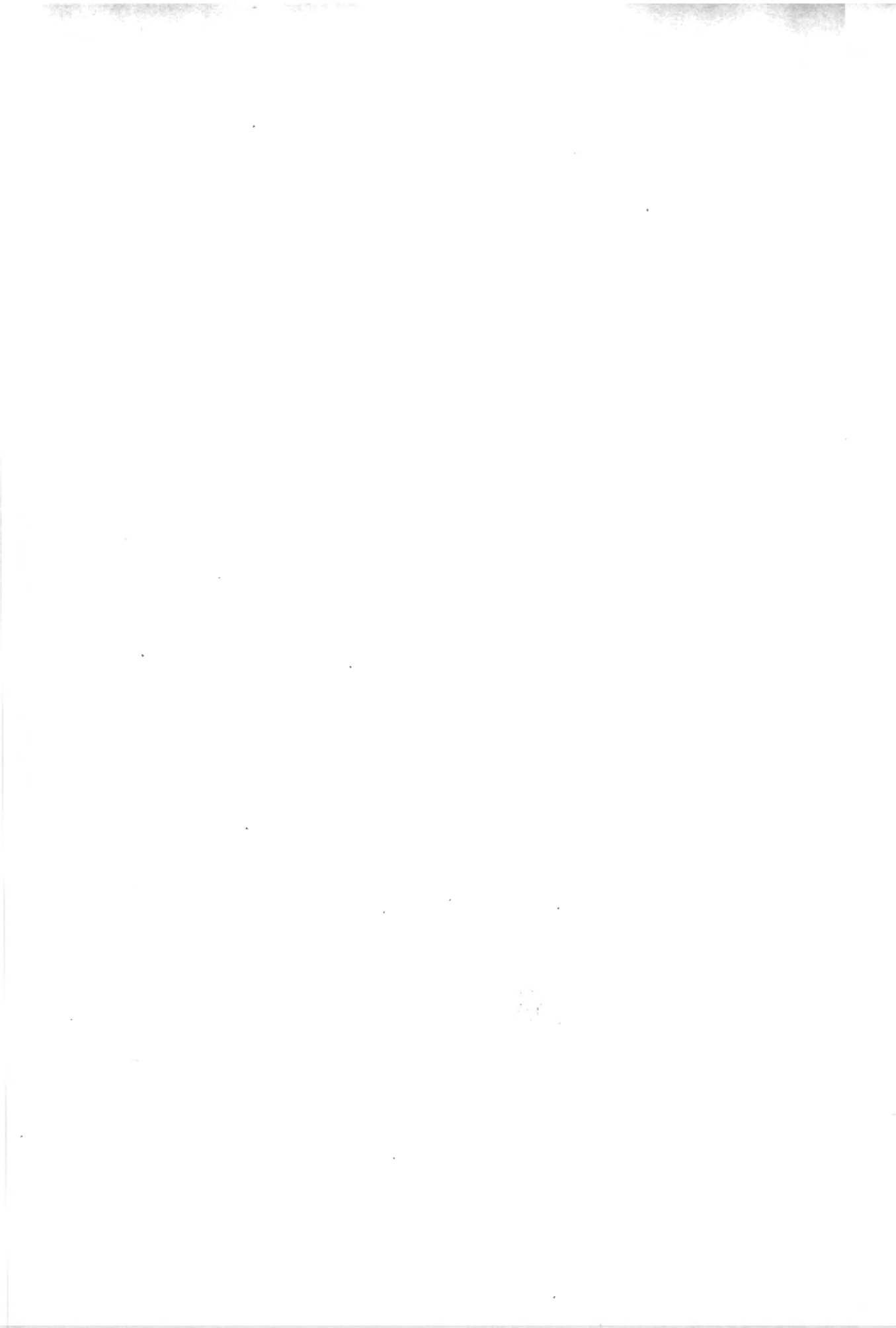
---



1. Ouvverture n° 1 du tunnel de lave.



2. La « crête » et l'ouverture n° 1 du tunnel.



IV

*LE LAC DE LAVE, LES BASSINS*

PLANCHE XVII.

## EXPLICATION DES FIGURES.

---

FIG. 1. — Partie sud du lac de lave.

21 avril 1938. La partie sud du lac de lave entre sous la berge à l'extrême droite. Noter les plis cisailés dans la croûte. Au fond, la falaise Nord-Sud [alt. 2.255 m].

Photo J. VERHOOGEN (Coll. Inst. Parcs Nat. Congo Belge).

FIG. 2. — Le lac de lave.

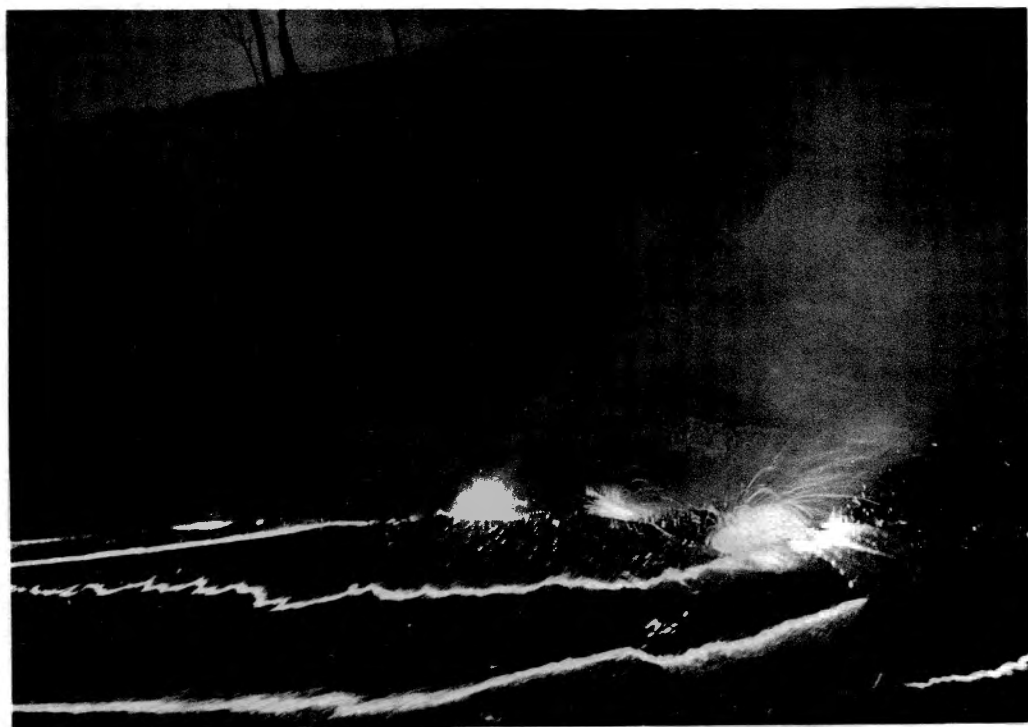
16, avril 1938. Vue nocturne du lac de lave. Fontaines à la berge Ouest. Au fond, l'îlot avec les arbres inclinés [alt. 2.255 m].

Photo J. VERHOOGEN (Coll. Inst. Parcs Nat. Congo Belge).

---



1. Partie sud du lac de lave.



2. Le lac de lave, la nuit.



REPLICATION DES FIGURES

Fig. 1. — *Extrait de la page 100 de l'ouvrage*  
A Paris, 1888. Le fond est en blanc (cf. p. 100).

**PLANCHE XVIII.**

Fig. 2. — *Extrait de la page 100 de l'ouvrage*  
Le fond est en blanc (cf. p. 100).

## EXPLICATION DES FIGURES.

---

FIG. 1. — Extrémité nord du lac de lave.

4 avril 1938. Le « fjord » et les exutoires [alt. 2.260 m].

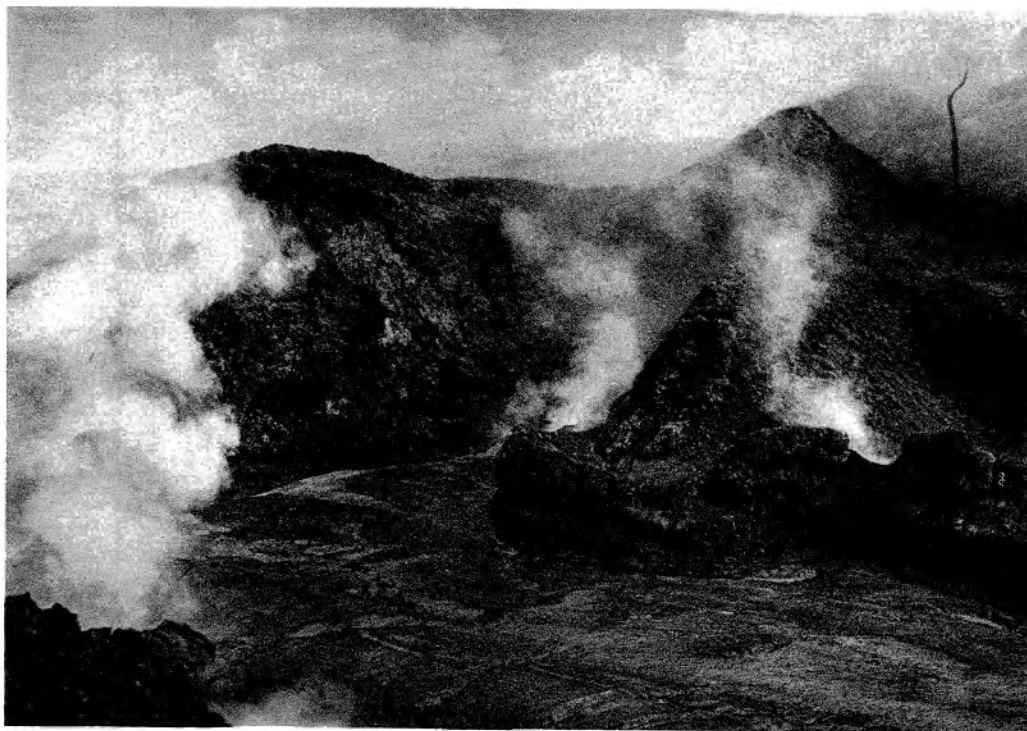
Photo J. VERHOOGEN (Coll. Inst. Parcs Nat. Congo Belge).

FIG. 2. — Un exutoire du lac.

19 avril 1938. Exutoire à la berge Nord-Est, pendant une accalmie [alt. 2.260 m].

Photo J. VERHOOGEN (Coll. Inst. Parcs Nat. Congo Belge).

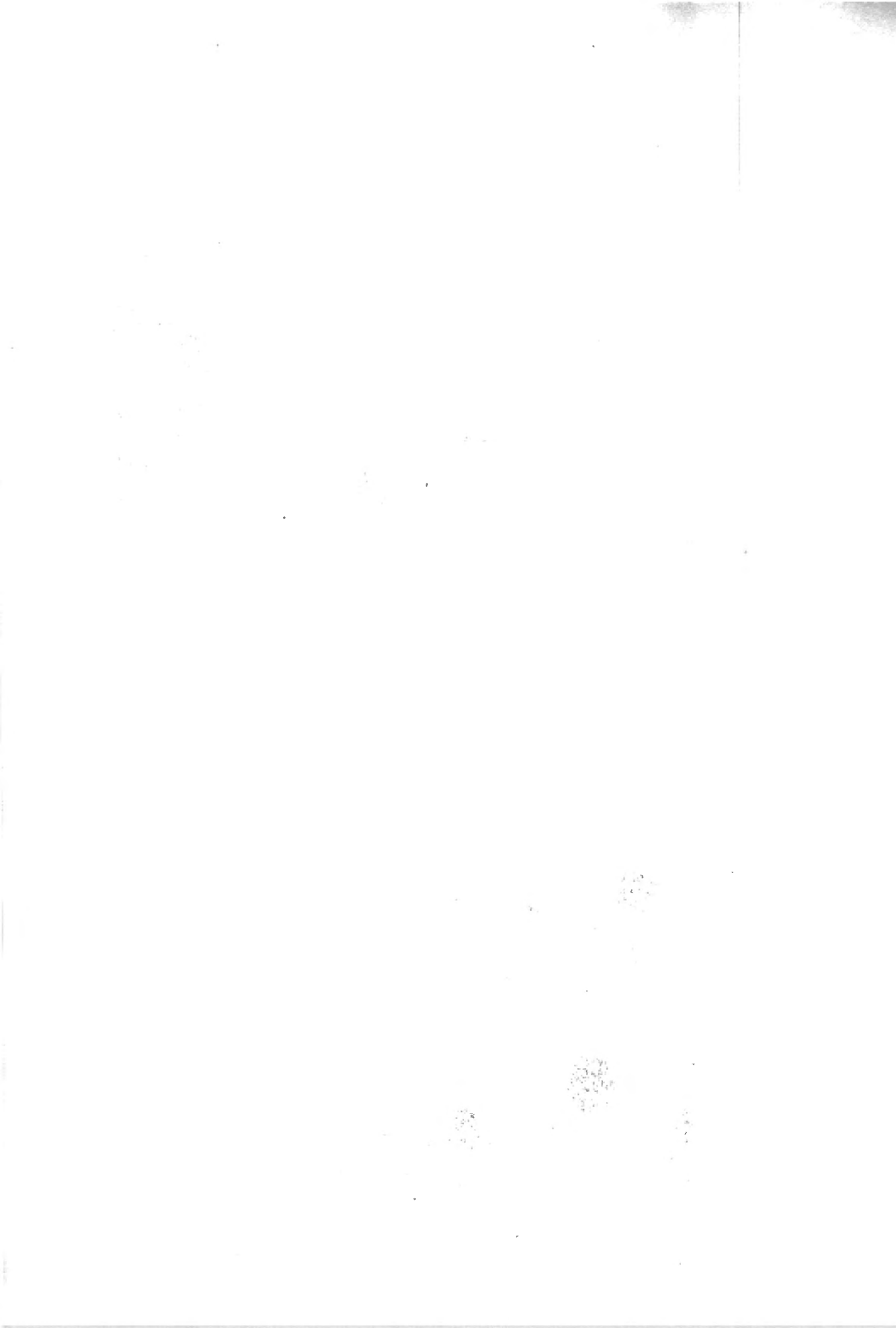
---



1. Extrémité nord du lac.



2. Un exutoire du lac à la berge N.-E.



EXPLICATION DES FIGURES

PLANCHE XIX.

## EXPLICATION DES FIGURES.

---

FIG. 1. — Le lac de lave.

14 mai 1938. Renversement du sens de la circulation :  
alimentation du bassin nord par le « fjord » [alt. 2.255 m].

Photo J. VERHOOGEN (Coll. Inst. Parcs Nat. Congo Belge).

FIG. 2. — Le « fjord ».

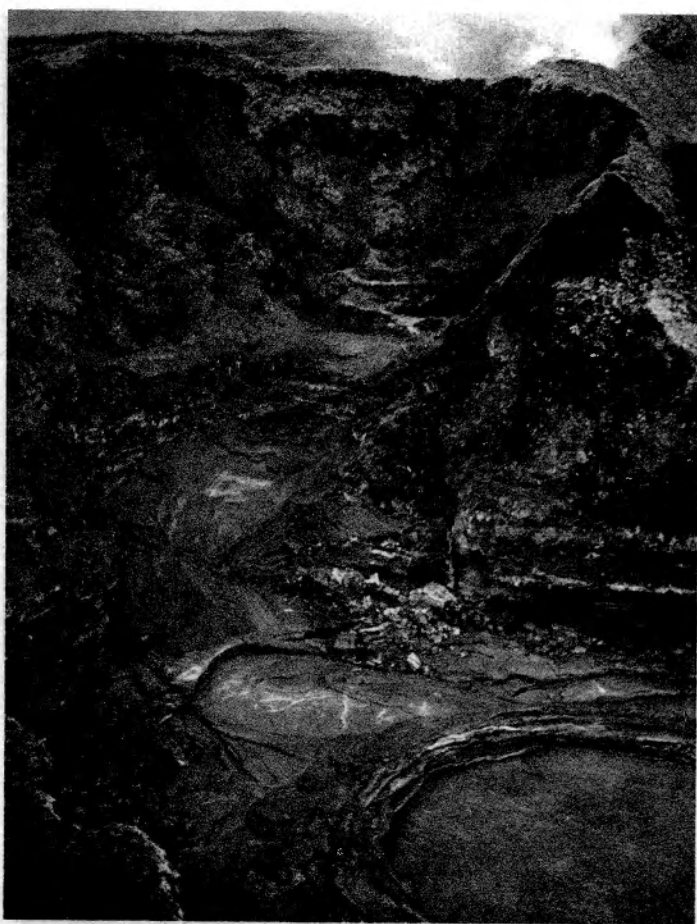
2 juin 1938. Après la chute du niveau du bassin nord [alt.  
2.260 m].

Photo J. VERHOOGEN (Coll. Inst. Parcs Nat. Congo Belge).

---



1. Renversement du sens de la circulation.



2. Le « Fjord ».



PLANCHE XX

## EXPLICATION DES FIGURES.

---

FIG. 1. — Les terrasses.

19 mai 1938. Les terrasses formées dans les berges du lac au cours des chutes successives du niveau de la lave [alt. 2.260 m].

Photo J. VERHOOGEN (Coll. Inst. Parcs Nat. Congo Belge).

FIG. 2. — Le bassin nord.

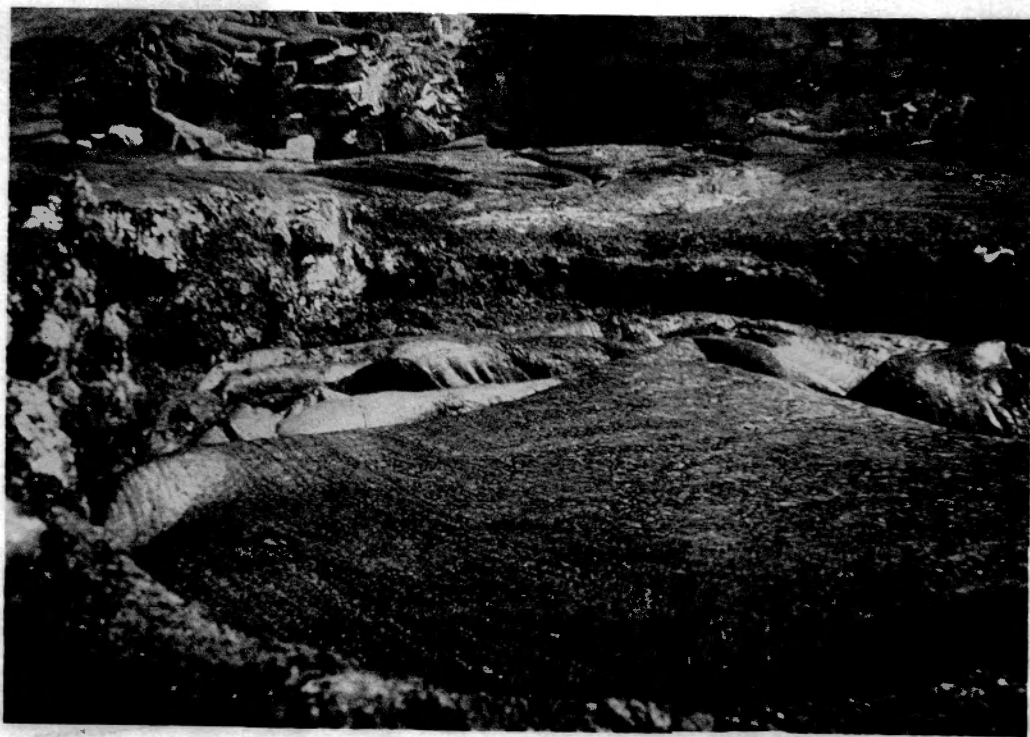
30 juillet 1938. Le bassin nord pendant une période de calme. Noter les plis de la croûte de la lave qui voyage de la droite vers la gauche [alt. 2.260 m].

Photo J. VERHOOGEN (Coll. Inst. Parcs Nat. Congo Belge).

---



1. Les terrasses,



2. Le bassin nord.

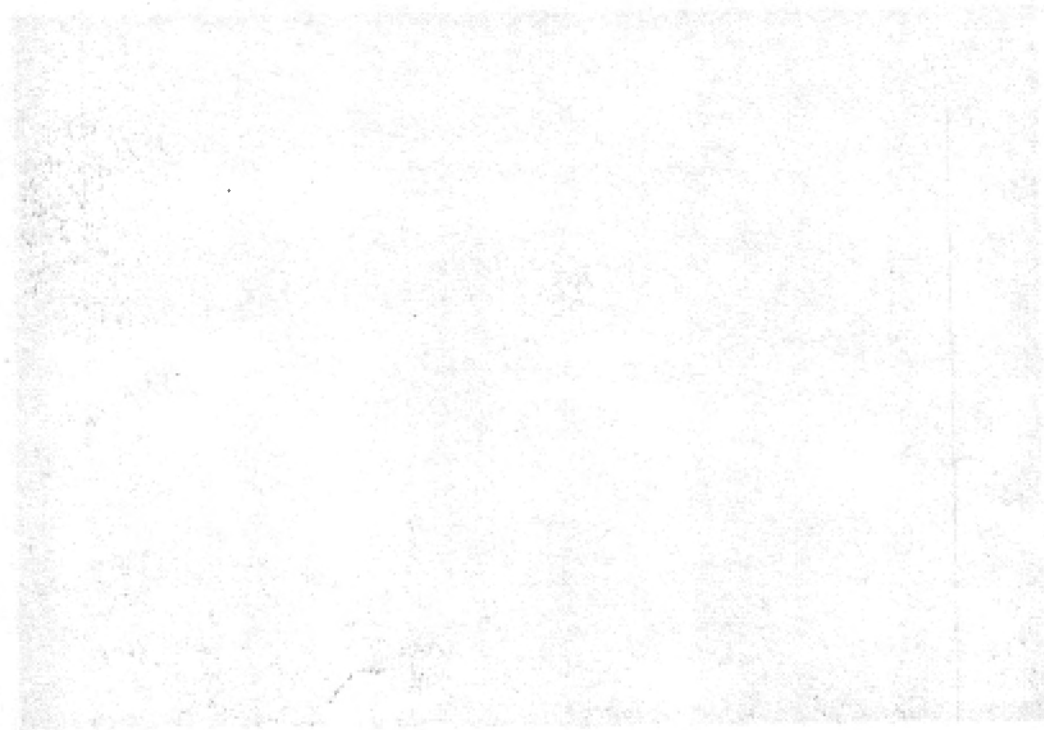
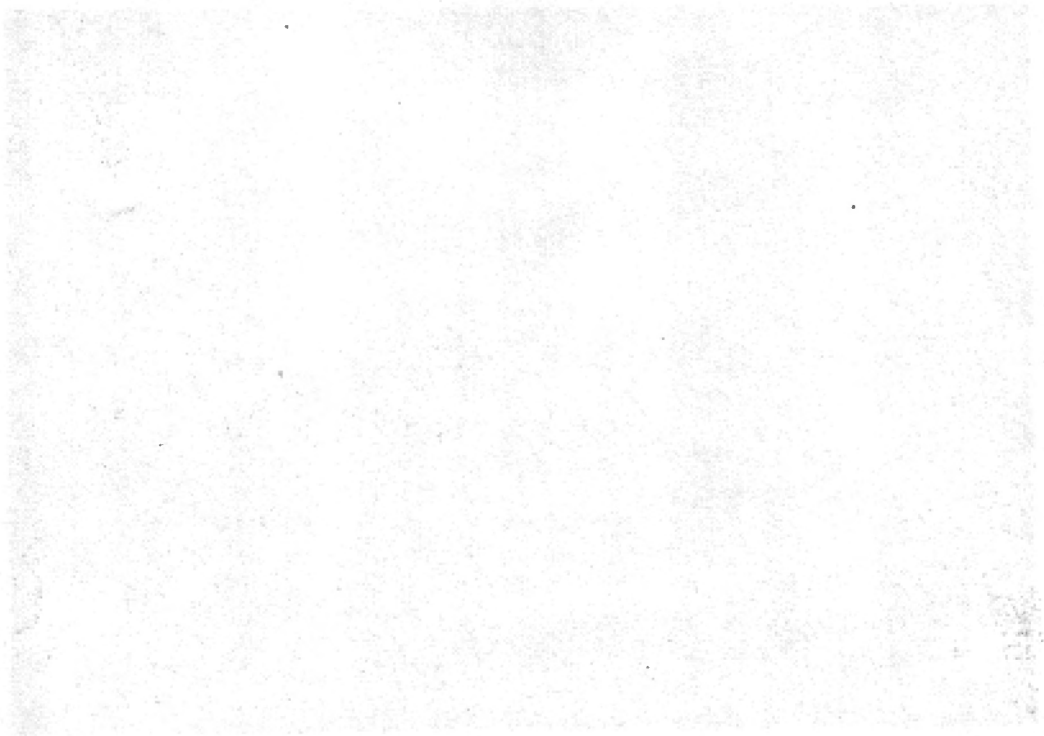


PLANCHE XXI.

EXPLICATION DES FIGURES.

---

FIG. 1. — Cycle du bassin nord.

8 juillet 1938. — Début de la période de vidange [alt. 2.260 m].

Photo J. VERHOOGEN (Coll. Inst. Parcs Nat. Congo Belge).

FIG. 2. — Cycle du bassin nord.

8 juillet 1938. Fragmentation et engloutissement de la croûte.

Photo J. VERHOOGEN (Coll. Inst. Parcs Nat. Congo Belge).

---



1. Le bassin nord.



2. Le bassin nord.



PLANCHE XXII.

**PLANCHE XXII.**

## EXPLICATION DES FIGURES.

---

**FIG. 1.** — Cycle du bassin nord:

8 juillet 1938. Une partie de la croûte est entraînée latéralement sous la berge [alt. 2.260 m].

Photo J. VERHOOGEN (Coll. Inst. Parcs Nat. Congo Belge).

**FIG. 2.** — Cycle du bassin nord.

8 juillet 1938. Fin de la vidange. La croûte a disparu, le niveau de la lave est tombé d'environ 1 mètre.

Photo J. VERHOOGEN (Coll. Inst. Parcs Nat. Congo Belge).

---



1. Le bassin nord.



2. Le bassin nord.



PLANCHE XXIII.

## EXPLICATION DES FIGURES.

---

FIG. 1. — Bassin sud.

23 juillet 1938. Activité explosive [alt. 2.260 m].

Photo J. VERHOOGEN (Coll. Inst. Parcs Nat. Congo Belge).

FIG. 2. — Bassin nord.

31 juillet 1938. Cône formé sur l'emplacement du bassin nord. Au fond à droite, coulée de lave « aa » du cône 7.

Photo J. VERHOOGEN (Coll. Inst. Parcs Nat. Congo Belge).

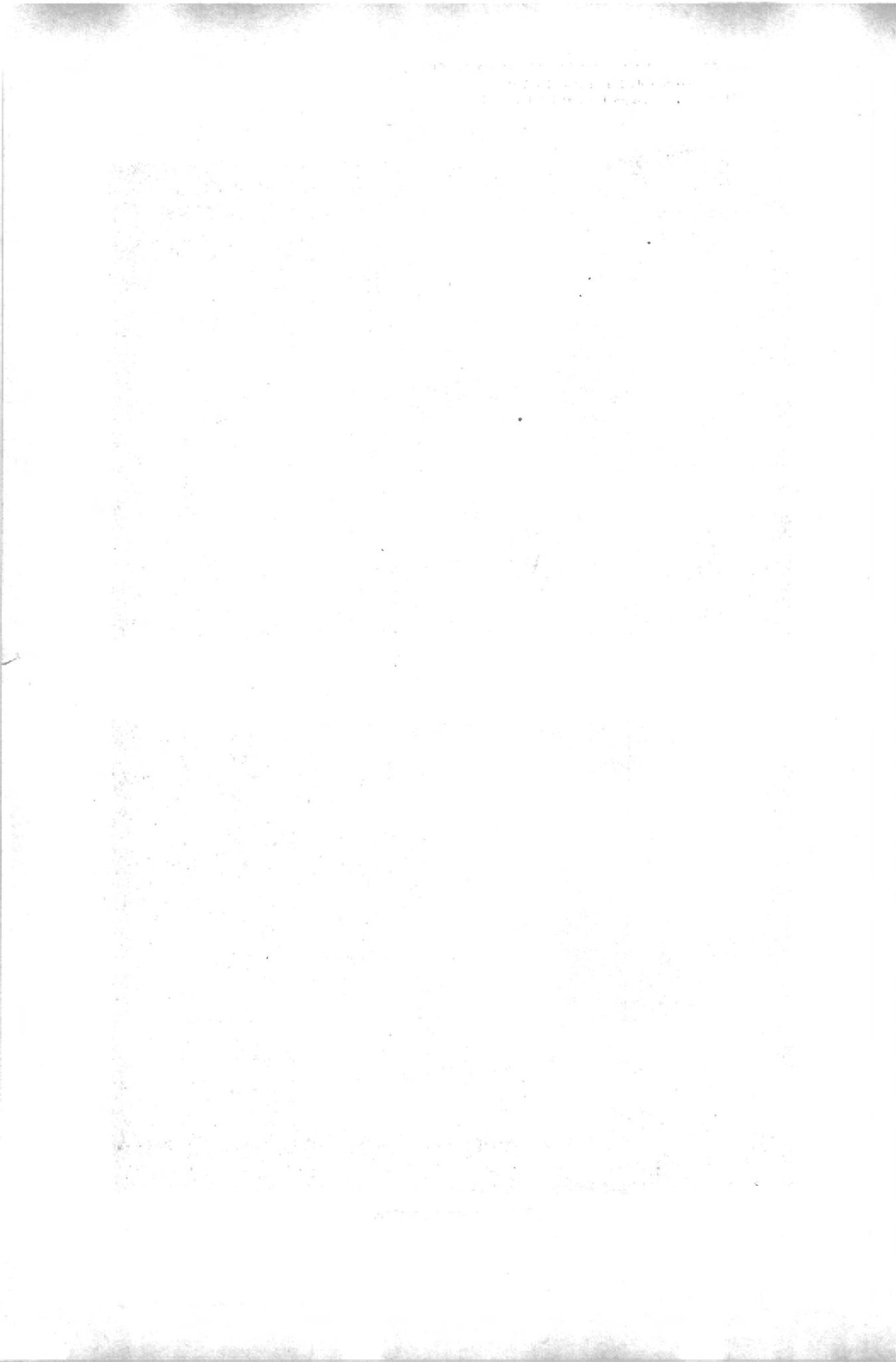
---



1, Au bassin sud.



2. Formation d'un cône.



V

*LES CONES*

PLANCHE XXIV.

EXPLICATION DES FIGURES.

---

FIG. 1. — Cône.

10 juillet 1938. Cône 3 et satellite 3' devenus inactifs. A gauche, l'extrémité sud de la falaise nord-sud oblitérée par les matériaux de projection du cône 3. [alt. au sommet : 2.301 m].

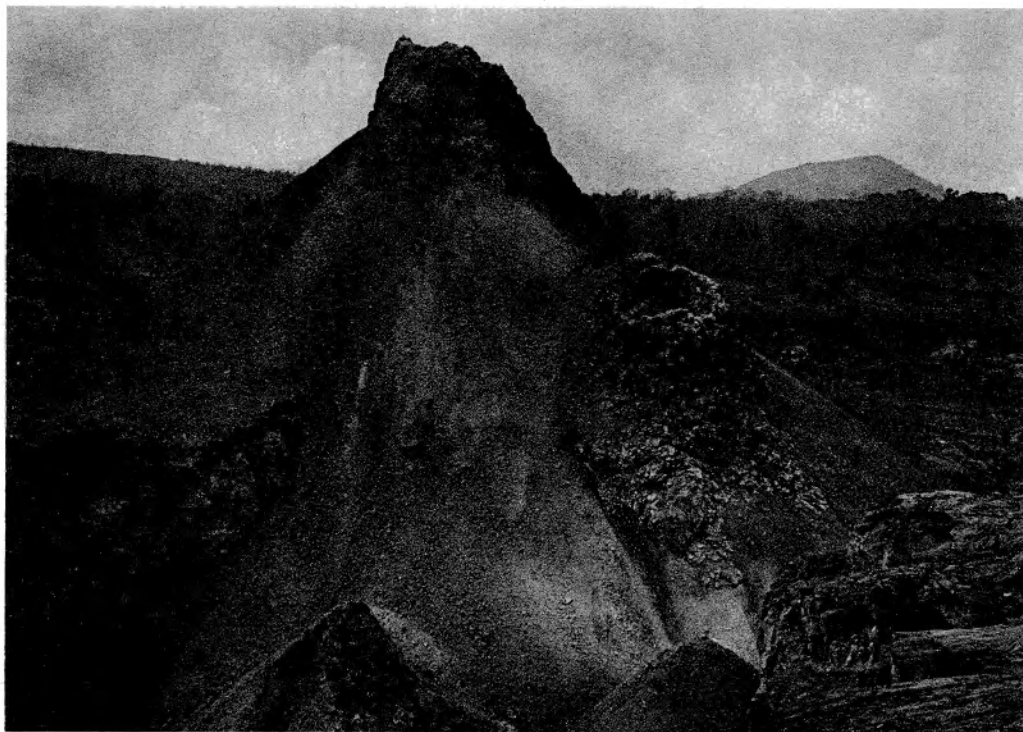
Photo J. VERHOOGEN (Coll. Inst. Parcs Nat. Congo Belge).

FIG. 2. — Gueulard.

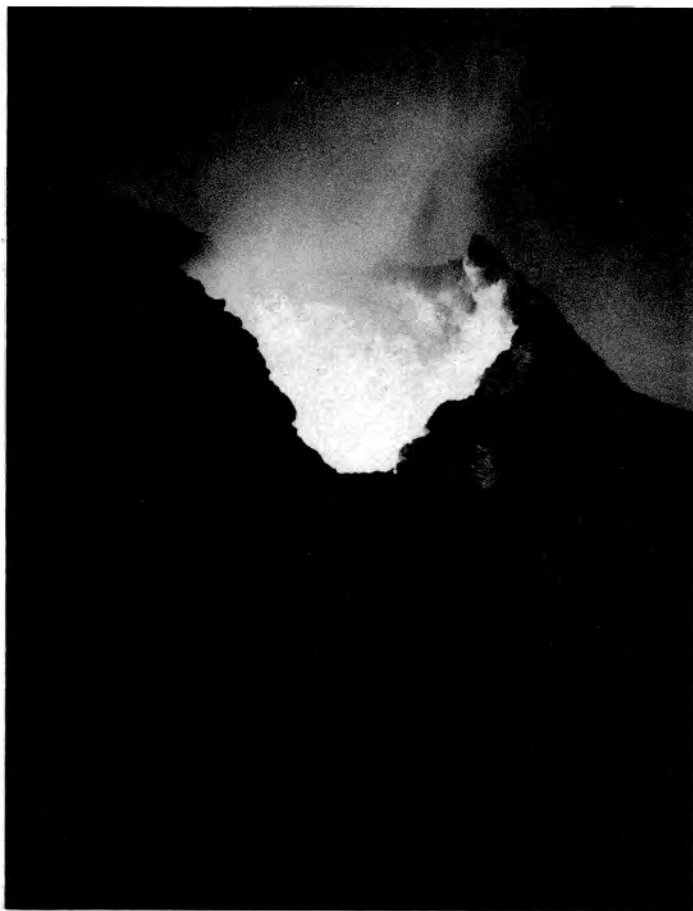
20 mai 1938. Gueulard incandescent du cône 2 (phase de combustion) [alt. 2.300 m].

Photo J. VERHOOGEN (Coll. Inst. Parcs Nat. Congo Belge).

---



1. Cône 3 et satellite 3' devenus inactifs.



2. Gueulard incandescent.



PLANCHE XXV.

## EXPLICATION DES FIGURES.

---

FIG. 1. — Naissance du cône 6.

19 avril 1938. Premiers symptômes de la naissance du cône 6 [alt. 2.290 m].

Photo J. VERHOOGEN (Coll. Inst. Parcs Nat. Congo Belge).

FIG. 2. — Cône 6.

23 avril 1938. Cône 6 en activité (phase explosive et effusive).  
A gauche, les cônes 5 et 4 [alt. 2.290 m].

Photo J. VERHOOGEN (Coll. Inst. Parcs Nat. Congo Belge).

---



1. Naissance d'un cône.



2. Cône 6 en activité.



PLANCHE XXVI.

## EXPLICATION DES FIGURES.

---

### FIG. 1. — Les cônes.

13 mai 1938. A droite, cône 4. Au fond, au centre, cône 7 et sa coulée de lave « aa ». Entre les deux, dans la fumée, les cônes 5 et 6. A l'avant-plan, la falaise nord-sud [alt. 2.280 m].

Photo J. VERHOOGEN (Coll. Inst. Parcs Nat. Congo Belge).

### FIG. 2. — Les projections.

13 mai 1938. Matériaux de projection du cône 7 (bombes en « bouse de vache » et rubans) reposant sur une coulée de ce cône [alt. 2.290 m env.].

Photo J. VERHOOGEN (Coll. Inst. Parcs Nat. Congo Belge).

---



1. Les cônes.



2. Matériaux de projection.



PLANCHE XXVII.

## EXPLICATION DES FIGURES

FIG. 1. — Le spectrographe.

30 juin 1938. Installation du spectrographe à l'orifice 8 [alt. env. 2.390 m].

Photo J. VERHOOGEN (Coll. Inst. Parcs Nat. Congo Belge).

FIG. 2. — Le spectre.

1<sup>er</sup> juillet 1938. De haut en bas : spectre de flamme, d'hydrogène et d'argon. Les lignes brillantes du spectre d'hydrogène sont, de gauche à droite, les raies 6562, 4861, 4340 et 4101 de la série de BALMER. Le spectre de flamme montre : 1<sup>o</sup> le doublet D de Na; 2<sup>o</sup> les bandes  $\Delta\nu = 3$  et  $\Delta\nu = 4$  du 1<sup>er</sup> système positif de  $N_2$ ; 3<sup>o</sup> à 4400, 4430 et 4360, trois bandes très faibles, dégradées vers le rouge, inidentifiées, à rapprocher de bandes inidentifiées du spectre des comètes (Ilford Panchromatic. Exp. : 1 heure, orifice 8).

Photo J. VERHOOGEN (Coll. Inst. Parcs Nat. Congo Belge).

FIG. 3. — Le spectre.

31 août 1938. De haut en bas : spectre de flamme, d'hydrogène et d'argon. Le spectre de flamme montre : 1<sup>o</sup> les raies 7665 et 7669 de K.; 2<sup>o</sup> un rayonnement thermique continu vers le rouge (à gauche); 3<sup>o</sup> la bande  $\Delta\nu = 1$  du 1<sup>er</sup> système positif de  $N_2$  (à droite des raies K). (Ilford Infra-rouge. Exp. 3 h 30, orifice 9. Téléobjectif.)

Photo J. VERHOOGEN (Coll. Inst. Parcs Nat. Congo Belge).



1. Installation du spectrographe.



2. Le spectre, orifice 8.



3. Le spectre, orifice 9.

